

مطالعه آزمایشگاهی پارامترهای تعیین کنندهٔ ظرفیت باربری کششی شمع فولادی در ماسه*

عیسی شوش پاشا^(۱)

مهردی شرفخواه^(۲)

چکیده در این مطالعه با استفاده از آزمایش بارگذاری کششی انجام شده بر روی شمع‌های با مقیاس واقعی، ظرفیت باربری کششی شمع‌های فلزی ارزیابی می‌شود. در این راستا پس از بررسی روش‌های موجود برای پیش‌بینی ظرفیت باربری کششی شمع‌ها و بیان خصوصیات خاک، تجهیزات و روش انجام کار، اقدام به ارائه نتایج حاصل از آزمایش بر روی هفت عدد شمع با قطر ثابت ۱/۲۰ متر و طول‌های ۴/۲۰ متر الی ۴/۸۰ متر گردید. آن‌گاه ضریب فشار جانبی خاک و زاویهٔ اصطکاک جداره‌ی شمع مورد بررسی قرار گرفت. نتایج این نمایش نشان می‌دهد نسبت زاویهٔ اصطکاک بین جدار شمع فولادی و خاک به زاویهٔ اصطکاک خاک برابر ۰/۵۲ است و نیز ضریب فشار جانبی خاک در جداره‌ی شمع به‌طور قابل ملاحظه‌ای کاهش می‌یابد.

واژه‌های کلیدی شمع، ماسه، اصطکاک جداره، ظرفیت باربری، ضریب فشار جانبی خاک، زاویهٔ اصطکاک جداره‌ی شمع.

Experimental Study on Parameters Affecting on Pile Tension Capacity in Sand

I. Shooshpasha

M. Sharafkhah

Abstract In this study, the shaft capacity of open- end steel pile in sandy soil was evaluated using a number of full scale tensile pile load test. Mentioning the available methods of predicting the shaft resistance of the pile, the soil properties and test apparatus, the results obtained from pile loading tests was presented. In the present study, 7 piles with constant diameter of 1.20m with different length of 4.20m up to 4.80m have been loaded. The earth pressure coefficient and frictional angle at the soil-pile interface were evaluated. The results of the study showed that for this method of pile installation, frictional angle in the soil-pile interface is 0.52 times of frictional angle of soil and the earth pressure coefficient reduces considerably.

Key Words Piles, Sand, Shaft Resistance, Earth Pressure Coefficient, Interface Frictional Angle.

* تاریخ دریافت مقاله ۹۲/۳/۲۱ و تاریخ پذیرش آن ۹۲/۶/۱۰ می‌باشد.

(۱) دانشیار، دانشکدهٔ مهندسی عمران، دانشگاه صنعتی بابل.

(۲) نویسندهٔ مسؤول: کارشناس ارشد ژئوتکنیک، فارغ‌التحصیل دانشگاه صنعتی بابل.

که K ضریب فشار جانبی خاک می‌باشد و به ضریب فشار جانبی خاک در حالت سکون (K_0)، روش احداث شمع و میزان دانسیته‌ی اولیه‌ی ماسه بستگی دارد. برای شمع‌های درجای متعارف مقدار K به طور معمول برابر با $0/7$ و شمع‌های درجا به روش حفاری پیوسته با اوگر این مقدار برابر با $0/9$ (در ماسه) و $0/6$ (در سیلت و ماسه سیلیتی) انتخاب می‌شود. برای شمع‌های پیش‌ساخته‌ی کوبیدنی و نیز شمع‌هایی که ابتدا غلاف کوبیده و سپس درون آن بتزنریزی می‌شود این ضریب برابر $1/2$ یا بیشتر در خارج از غلاف لحاظ می‌گردد و پس از خارج کردن غلاف مقداری کاهش دارد [4]. در این مقادیر هیچ‌گونه تمایزی بین شمع‌های کششی و فشاری وجود ندارد.

بر اساس ۴۱ عدد آزمایش انجام شده روی شمع‌ها، روابط زیر توسط O'Neill و همکاران در سال ۱۹۹۴ پیشنهاد شد [5].

$$\tau_s = \beta \cdot \sigma'_z \quad (3)$$

$$\beta = 1.5 - 0.245 Z^{0.5} \quad (4)$$

و توصیه شده است که برای اعداد نفوذ کمتر از 15 ، مقدار β در ضریب کاهش $N/15$ ضرب شود [6]. در این روابط Z عمق نقاط روی جداره‌ی شمع نسبت به سطح زمین، σ'_z تنش مؤثر قائم در عمق z و N عدد نفوذ استاندارد می‌باشد. رابطه‌ی فوق در شرایطی صادق است که $1/20 < \beta < 1/20$ و $0/25 < \tau_s < 200 \text{ kpa}$. در این روابط تفاوتی برای مقادیر β در کشش و فشار ذکر نشده است. از آنجائی که مقاومت جداره‌ی شمع‌ها تحت بارگذاری کششی با مقاومت جداره‌ی شمع‌ها تحت بارگذاری فشاری متفاوت می‌باشد لذا رابطه‌ی زیر پیشنهاد شده است [7]:

$$\frac{(Q_s)_{\text{tens}}}{(Q_s)_{\text{comp}}} \approx (1 - 0.2 \log\left(\frac{100}{L/D}\right))(1 - 8\eta + 25\eta^2) \quad (5)$$

در این رابطه Q_s مقاومت جداره‌ی شمع از جنس نیرو، v_p ، E_p ، G_{avg} به ترتیب مدول برشی متوسط، مدول یانگ شمع و ضریب پواسون شمع، D قطر شمع، L طول شمع

مقدمه

بیشتر مطالعات در خصوص ظرفیت باربری شمع‌ها، تحت بارگذاری فشاری انجام شده است، در صورتی که در بسیاری از موارد شمع‌ها تحت بارگذاری کششی قرار دارند. بنابراین بررسی رفتار شمع‌ها تحت بارگذاری کششی و اندازه‌گیری ظرفیت باربری این شمع‌ها می‌تواند بسیار مهم باشد.

مقاومت برشی نهایی در جداره یک شمع (τ_f) به صورت تابعی از تنش جانبی ثابت شده بعد از احداث شمع (σ'_{rc})، تنش جانبی اضافی در اثر بارگذاری ($\Delta\sigma'_{rc}$)، و زاویه‌ی اصطکاک جداره‌ی شمع در تماس با خاک (δ_f)، طبق رابطه‌ی زیر ارائه شده است [1]:

$$\tau_f = (\sigma'_{rc} + \Delta\sigma'_{rc}) \tan\delta_f = \sigma'_{rf} \tan\delta_f \quad (1)$$

در ماسه مقدار $\Delta\sigma'_{rc}$ برای شمع‌های با قطر بزرگ‌تر از 300 میلی‌متر نسبتاً کوچک است، بنابراین تنش جانبی مؤثر در پیک مقاومت برشی σ'_{rf} را می‌توان با σ'_{rc} برابر در نظر گرفت [2]. همچنین بعد از احداث شمع و قبل از بارگذاری استاتیکی، تنش جانبی مؤثر با تنش ثابت شده جانبی (σ'_{rc}) برابر خواهد بود.

زاویه‌ی اصطکاک جداره‌ی شمع را در هنگام گسیختگی δ_f می‌توان توسط آزمایش‌های مناسب اندازه‌گیری نمود [3]. برای شمع‌های متعارف (بتن و فولاد نرم‌هی اکسید شده) زاویه‌ی اصطکاک جداره بین $0/75$ تا 1 برابر زاویه‌ی اصطکاک خاک خواهد بود. برای موقعی که اطلاعات کافی برای جداره‌ی شمع در اختیار نیست، می‌توان مقدار آن را برابر با زاویه‌ی اصطکاک حالت بحرانی خاک (ϕ_{cv}) در نظر گرفت. این فرض با توجه به این‌که هیچ‌گونه اتساعی بین جداره‌ی شمع و خاک اتفاق نیفتد بنا نهاده شد. برای محاسبه‌ی مقاومت اصطکاکی جداره‌ی شمع در ماسه رابطه‌ی زیر پیشنهاد شده است [4]:

$$\tau_s = \sigma'_r \cdot \tan\delta = K \cdot \sigma'_v \cdot \tan\delta \quad (2)$$

مورد بررسی قرار گیرد.

مشخصات خاک محل

منطقه‌ی مورد مطالعه در شهر محمودآباد در استان مازندران در حاشیه‌ی جنوبی دریای خزر است. این منطقه از رسوبات دوره‌ی پالزوئیک و کواترنری شکل گرفته است. براساس مشاهده‌ی لایه‌بندی زمین در زمان شناسایی خاک به نظر می‌رسد که این منطقه متعلق به دوره‌ی چهارم زمین شناسی می‌باشد.

برای شناسایی خاک از دو گمانه به عمق ۲۵ متر در زمینی به مساحت ۴۰۰ مترمربع استفاده شده است. به این ترتیب، هم‌زمان با پیشرفت عملیات حفاری اقدام به تعیین لایه‌بندی خاک و انجام آزمایش نفوذ استاندارد بر حسب عمق در شکل (۱) ارائه شده است. سپس نمونه‌ها به آزمایشگاه منتقل شد و آزمایش‌های مربوط به تعیین خصوصیات فیزیکی و مکانیکی بر روی آن‌ها انجام گرفت. طبق روش طبقه‌بندی جهانی خاک‌ها، خاک مورد نظر در گروه SP جای دارد. دانسته‌ی نسبی این خاک حدود ۱۵٪ برآورد شده است که مربوط به خاک‌های سست و خیلی سست می‌باشد. تراز آب زیرزمینی در عمق ۴/۵ متر از سطح زمین واقع شده است. روی نمونه‌ها آزمایش برش مستقیم طبق استاندارد D 3080 ASTM- انجام شده است. نتایج شناسایی خاک در جدول (۱) و (۲) نشان داده شده است.

جدول ۱ مشخصات خاک گمانه BH1

Depth [m]	C [kpa]	ϕ	e	Gs	Cz	Cu	Soil
1.0	0	27.7	0.75	2.69	0.94	2.43	SP
2.5	--	--	0.51	2.68	0.51	6.55	SP
4.0	--	--	0.41	2.67	0.49	2.93	SP

جدول ۲ مشخصات خاک گمانه BH2

Depth [m]	C [kpa]	ϕ	e	Gs	Cz	Cu	Soil
1.0	--	--	0.67	2.81	1.05	1.94	SP
2.5	0	25.1	0.68	2.80	1.08	2.01	SP
4.0	--	--	0.49	2.66	0.49	7.73	SP

می‌باشدند. مقادیر نمونه برای نسبت مقاومت کششی به فشاری جداره‌ی شمع‌ها طبق رابطه‌ی (۵) بین ۰/۷ تا ۰/۸۵ می‌باشد. برای β رابطه‌ی زیر نیز پیشنهاد شده است [۸]:

$$\beta = F_{tg}(\varphi' - 5^\circ) \quad (6)$$

در این رابطه F مقدار ثابتی است که به ترتیب برای شمع‌های کششی و فشاری برابر ۰/۵ و ۰/۷ می‌باشد. بر اساس ۳۴ عدد آزمایش کششی شمع، Alawneh در سال ۱۹۹۹ روشی را برای تخمین مقاومت جداری شمع‌ها پیشنهاد نمود [۹]. بر اساس روش فوق، مقاومت نهایی جداره شمع به صورت زیر به دست خواهد آمد:

$$\tau_{m(z)} = \sigma'_{rf} \tan \delta_f \quad (7)$$

$$\sigma'_{rf} = K_{(z)} \sigma'_{(z)} \quad (8)$$

$$K_{(z)} = K_{min} + (K_{max} - K_{min}) \exp \left[-0.03 \left(\frac{L-z}{D} \right) \right] \quad (9)$$

$$K_{max} = 0.35 \exp(0.03 D_r) \left(\frac{D+0.45}{2D} \right)^{0.005 D_r} \left(\frac{\sigma'_{vtip}}{P_a} \right)^{-0.84} \quad (10)$$

که ($\tau_{m(z)}$) مقاومت جداری نهایی شمع، (σ'_{rf}) تنش مؤثر جانبی در لحظه‌ی گسیختگی، ((z)) تنش مؤثر قائم، (σ'_{vtip}) تنش مؤثر قائم در نوک شمع، ($K_{(z)}$) ضریب فشار جانبی خاک برای شمع کششی، Pa فشار اتمسفر ۱۰۱/۳ کیلوپاسکال) (D_r) دانسته‌ی نسبی، K_{max} ضریب فشار جانبی حداقل در نوک شمع که از (۱۰) به دست می‌آید و K_{min} ضریب فشار جانبی حداقل می‌باشد. ضریب فشار جانبی حداقل (K_{min}) می‌تواند به ضریب فشار جانبی محرك رانکین (k_a) Rankine مرتب شود، هر چند Alawneh مقدار K_{min} را برابر با ۰/۲۳ پیشنهاد داده است. مقدار متوسط K_{min} که توسط Alawneh محاسبه شد حدود ۰/۲۴٪ کمتر از مقدار k_a متناظر است. به دلیل فقدان اطلاعات مشخص در مورد مقادیر K در روش Alawneh [۹]، δ در رابطه‌ی (۲) و β در روش O'Neill [۵]، در این تحقیق سعی شده است تا مقادیر این پارامترها با انجام آزمایش کششی شمع‌ها در محل

که با بیرون کشیدن غلاف، نیروی مورد نیاز برای غلبه بر اصطکاک جداره شمع اندازه‌گیری می‌شود.



شکل ۲ نصب نیروسنجد بین قاب فلزی

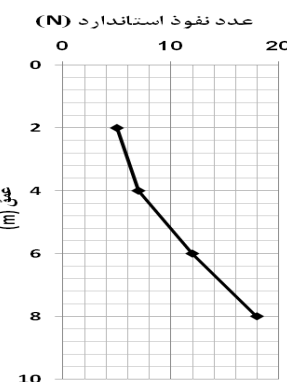


شکل ۳ اعمال نیروی کششی به شمع‌ها



شکل ۴ قرائت نیروی اعمال شده، ارائه نتایج و تجزیه و تحلیل آنها

آزمایش ظرفیت باربری کششی بر روی ۷ شمع فولادی با قطر ثابت ۱۲۰ سانتی‌متر و طول متغیر بین ۴۲۰ سانتی‌متر تا ۴۸۰ سانتی‌متر انجام شده است. نتایج حاصل از اندازه‌گیری ظرفیت کششی شمع در



شکل ۱ نمودار عدد نفوذ استاندارد (N) نسبت به عمق

آزمایش کشش شمع‌ها

برای اندازه‌گیری ظرفیت باربری کششی شمع‌ها ابتدا تجهیزات آزمایش طراحی و ساخته شده است. بدین ترتیب پس از ساخت یک قاب فلزی، با کمک جک و نیروسنجد، ظرفیت باربری کششی شمع اندازه‌گیری می‌شود. با کمک یک جرثقیل بار کششی وارد شده به این قاب فلزی توسط کابل به شمع منتقل می‌شود؛ بدین صورت که ابتدا بار اعمال شده به حلقه‌ی بالایی وارد شده، سپس از حلقه بالایی به جک و از جک به حلقه‌ی پایین منتقل می‌شود و در نهایت نیرو از طریق کابل به بالای شمع اعمال خواهد شد. مقدار نیرو توسط نیروسنجد قرائت می‌شود. مراحل انجام آزمایش در شکل‌های (۲) تا (۴) نمایش داده شده است.

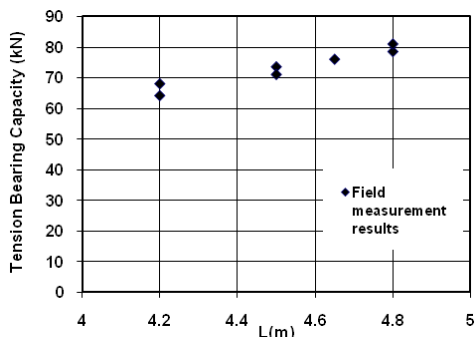
برای احداث شمع، ابتدا گودالی به قطر ۱۱۰ سانتی‌متر و عمق ۵۰ سانتی‌متر حفر می‌شود. سپس شمع در مسیر این گودال قرار می‌گیرد. همزمان با حفاری داخل گودال، شمع‌های فولادی به داخل خاک رانده می‌شوند به نحوی که همواره نوک لوله‌ی فولادی ۲۰ الى ۳۰ سانتی‌متر پایین‌تر از کف گودال قرار گیرد. این نیروی فشاری حاصل سربار آویزان شده بر روی شمع و نیز وزن خود شمع می‌باشد.

از آنجایی که این لوله‌های فولادی به عنوان غلاف برای اجرای شمع‌های بتنی درجا مورد استفاده قرار می‌گیرد لذا قبل از بتن‌ریزی ظرفیت باربری کششی این شمع‌های فولادی اندازه‌گیری می‌گردد. به این ترتیب

از طرفی رابطه‌ی (۴) را می‌توان در حالت کلی به صورت معادله‌ی زیر بازنویسی نمود.

$$\beta = \alpha(1.5 - 0.245Z^{0.5}) \quad (11)$$

براساس معادله‌ی پیشنهادی O'Neill زمانی که $N > 15$ مقدار α برابر ۱ است و برای $N < 15$ این ضریب برابر با $N/15$ می‌باشد. به عبارت دیگر هنگامی که N کمتر از ۱۵ باشد، ضریب α استفاده می‌شود. در این مطالعه مقدار ضریب فوق به گونه‌ای تعیین می‌شود که مقاومت جداره‌ی حاصل از رابطه‌ی (۳) با مقدار اندازه‌گیری شده در محل برابر شود. به این ترتیب مقدار α با کمک شکل (۶) تعیین می‌شود که نتایج به دست آمده در جدول (۵) نشان داده شده است. برای ساده شدن محاسبه‌ها مطابق پیشنهاد De Nicola و Randolph [۷]، فرض می‌گردد که مقاومت جداره برای بار کششی برابر 72% مقاومت جداره در هنگام اعمال بار فشاری شمع باشد. از آنجایی که در این مطالعه مقاومت جداره برای بار کششی شمع‌ها اندازه‌گیری شده است، از این‌رو مقدار α معادل متاظر با مقاومت جداره‌ی فشاری شمع‌ها به کمک شکل (۶) تعیین شده است که به شرح جدول (۵) می‌باشد.



شکل ۵ تغییرات مقاومت جداره اندازه‌گیری شده در محل با طول شمع

جدول ۵ تعیین متوسط

L[m]	4.2	4.5	4.65	4.8	متوسط
α	0.143	0.138	0.136	0.135	0.138
$Q_s(\text{copm})$ [kN]	91.97	100.42	105.6	110.64	-
$Q_s(\text{tens})$ [kN]	66.22	72.30	76.03	79.66	-

جدول (۳) نمایش داده شده است. در این جدول علاوه بر ظرفیت کلی اندازه‌گیری شده در محل، ظرفیت باربری شمع بدون در نظر گرفتن وزن شمع که در انجام محاسبه‌ها حداکثر نیروی کششی خالص نامیده می‌شود نیز ارائه شده است. لازم به ذکر است که در آزمایش بارگذاری از یک شمع فولادی با وزن و طول ثابت استفاده شده است و اختلاف طول شمع‌ها در مقدار حفاری می‌باشد. نتایج به دست آمده از آزمایش در شکل (۵) نیز نشان داده شده است. مقادیر متوسط مقاومت جداره‌ی شمع که در محاسبه‌ها مورد استفاده قرار می‌گیرد در جدول (۴) نشان داده شده است.

جدول ۳ ظرفیت باربری کششی اندازه‌گیری شده‌ی شمع‌ها

Pile No.	طول مدفون شمع [m]	حداکثر جابه‌جاوی شمع [cm]	حداکثر نیروی کششی [kN]	حداکثر نیروی کششی خالص [kN]
P1	480	12.0	100.55	78.48
P2	420	8.0	86.38	64.31
P3	450	10.0	95.65	73.58
P4	420	8.0	90.20	68.13
P5	480	10.0	103.01	80.93
P6	450	10.0	93.20	71.12
P7	465	12.0	98.10	76.03

قطر شمعها = 120 cm وزن شمع = 22.07 kN

بر اساس رابطه‌ی (۵)، نسبت ظرفیت کششی به فشاری شمع‌ها در این تحقیق برابر با 72% به دست خواهد آمد که از این عدد در ادامه برای سایر محاسبه‌ها نیز استفاده می‌شود.

جدول ۴ ظرفیت باربری کششی متوسط اندازه‌گیری شده شمع‌ها

نیروی کششی اندازه‌گیری شده	طول شمع [cm]	420	450	465	480
$Q_{s(\text{tens})}$ [kN]	66.22	72.30	76.03	79.66	

همان‌طور که مشاهده می‌شود مقدار متوسط α (آمده در جدول ۵) برابر با $0/138$ می‌باشد. براین اساس رابطه‌ی (۸) را می‌توان به صورت زیر نوشت:

$$\beta = 0.138(1.5 - 0.245Z^{0.5}) \quad (12)$$

با توجه به ضریب $N/15$ پیشنهادی O'Neill مقدار N برابر است با:

$$N = 15 \times 0.138 = 2.07$$

همان‌طور که ملاحظه می‌شود این مقدار کمتر از مقدار N متناظر با خاک واقعی است. بنابراین براساس $\alpha = 0/138$ مقدار این ضریب در مقایسه با ضریب کاهشی $N/15$ در روش O'Neill کوچک می‌باشد. بنابراین می‌توان گفت که رابطه‌ی O'Neill برای شمع‌هایی که مطابق روش اشاره شده در مطالعه‌ی حاضر احداث می‌شوند، می‌تواند به صورت زیر بازنویسی گردد:

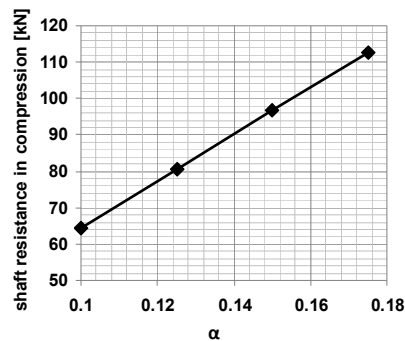
$$\beta = \frac{N}{36}(1.5 - 0.245Z^{0.5}) \quad (13)$$

به عبارت دیگر مقدار β برای ماسه سست و خیلی سست حاضر حدود $0/40$ برابر ضریب پیشنهادی O'Neill است.

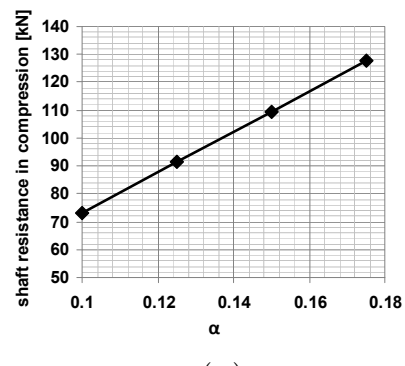
با کمک مقدار α در جدول (۵) و رابطه‌ی (۱۱) مقدار β در طول شمع محاسبه شده و در جدول (۶) ارائه شده است.

مقدار متوسط β نشان داده شده در جدول (۶) برابر $0/147$ برای شمع‌های تحت بارگذاری فشاری می‌باشد که کمتر از مقدار حدی $0/25$ در رابطه‌ی (۴) می‌باشد. با استفاده از ضریب $0/72$ به عنوان نسبت مقاومت جداره‌ی کششی به فشاری، متوسط β حدود $0/106$ برای شمع‌های کششی به دست خواهد آمد. این در حالی است که اگر مقدار متوسط β با کمک نتایج به دست آمده از آزمایش تخمین زده شود، مقدار آن برابر $0/107$ به دست خواهد آمد تا نتایج تحلیلی با آزمایشگاهی برابر شود.

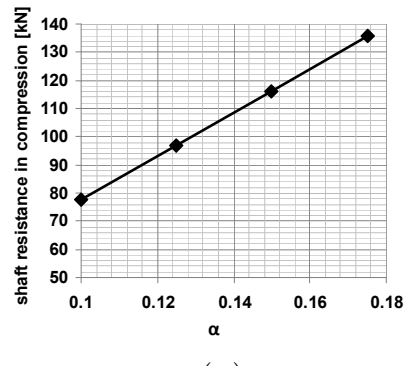
از طرف دیگر با استفاده از رابطه‌ی (۶) و با انتخاب زاویه‌ی اصطکاک جداره $27/7$ درجه، β برابر $0/209$ برای $F=0/5$ (شمع‌های کششی) محاسبه می‌شود. این مقدار حدود $1/95$ برابر مقدار β محاسبه شده



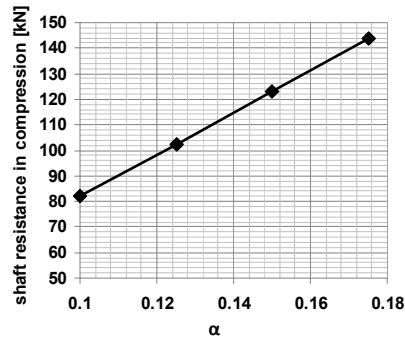
(الف)



(ب)



(پ)



(ت)

شکل ۶ تغییرات مقاومت جداره‌ی شمع‌های فشاری با
الف) شمع $4/2$ متری، ب) $4/5$ متری، پ) $4/65$ متری، ت) $4/8$ متری

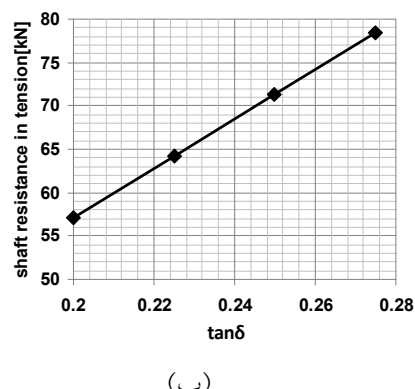
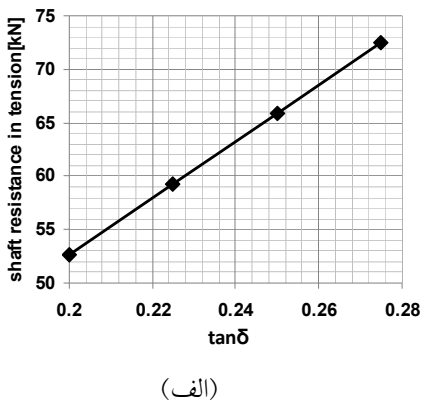
جدول ۸ تغییرات $\tan\delta$ در شمع‌های آزمایش

L[m]	4.2	4.5	4.65	4.8	average
$\tan\delta$	0.251	0.253	0.257	0.259	0.255
Q_{tens}	66.22	72.30	76.03	79.66	-

همان طوری که ملاحظه می‌شود، مقدار متوسط $\tan\delta$ برابر 0.255 است. یعنی مقدار 5° برابر است درجه خواهد بود لذا می‌توان گفت مقدار 5° برابر است با 0.524%

$$\begin{aligned} \text{بر اساس } ۰/۱۰۷ &= \beta \text{ حاصل از آزمایش و } ۰/۲۵۵ \\ \text{طبق جدول (۸) مقدار } K_{avg} &\text{ به کمک روابط} \\ (۳) \text{ در طول شمع به صورت زیر محاسبه خواهد} &= \tan\delta_{(avg)} \\ 0.107 = 0.255 \times K_{avg} &\Rightarrow K_{avg} = 0.419 \end{aligned}$$

همان طور که ملاحظہ می شود این مقدار با K_{avg} بدست آمده از جدول (V) تقریباً برابر است.



شکل ۷ تغییرات مقاومت جداره‌ی شمع‌های کششی با $\tan\delta$

الف) شمع $4/2$ متری، ب) $4/5$ متری، پ) $4/65$ متری،
ت) $4/8$ متری

با کمک نتایج آزمایش می‌باشد. با قبول $\alpha = 0.05$ و بهره گرفتن از رابطه‌ی (۶) مقدار F برابر 20.0 خواهد شد که کمتر از 5.0 مقدار پیشنهادی [8] می‌باشد.

جدول ۶ تغییرات β در طول شمع های موردازمايش

مقادیر $K_{(z)}$ در روش Alawneh در سال ۱۹۹۹ در طول شمع مطابق جدول (۷) نشان داده شده‌اند. برای همهٔ شمع‌ها مقدار K_{\min} برابر ۰/۲۳ فرض شده است.

جدول ۷ تغییرات Kz و Kmax در طول شمع‌های موردن آزمایش

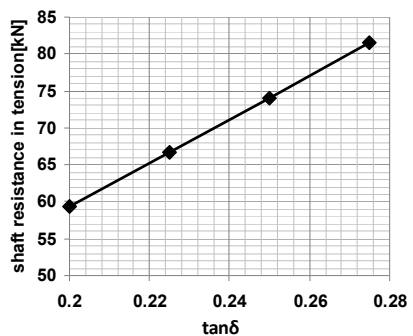
L=4.2 m, Kmax=0.458						
z[m]	0.5	1.5	2.5	3.5	4.1	average
K(z)	0.438	0.443	0.449	0.454	0.457	0.452
L=4.5 m, Kmax=0.432						
z[m]	0.5	1.5	2.5	3.5	4.25	average
K(z)	0.413	0.418	0.422	0.427	0.431	0.426
L=4.65 m, Kmax=0.420						
z[m]	0.5	1.5	2.5	3.5	4.325	average
K(z)	0.402	0.406	0.411	0.415	0.419	0.414
L=4.8 m, Kmax=0.409						
z[m]	0.5	1.5	2.5	3.5	4.4	average
K(z)	0.391	0.395	0.399	0.404	0.408	0.403
Average K(z)						0.422

با استفاده از رابطه‌ی (۷)، مقدار $\tan\delta$ که بتواند مقاومت جداره‌ی متناظر با مقادیر اندازه‌گیری شده در محل را تولید نماید تعیین گردید که به شرح جدول (۸) و شکل (۷) می‌باشد.

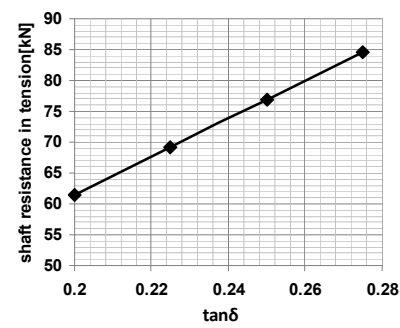
غلاف فلزی شمع قبل از عملیات بتن‌ریزی انجام شده است، به‌همین دلیل پیش‌بینی می‌شود بعد از خروج غلاف و انجام عملیات بتن‌ریزی، به‌دلیل فشار جانبی و نفوذ دوغاب بتن تازه به درون خاک، مقاومت جداره شمع بهبود پیدا کند.

فهرست علائم

C	چسبندگی خاک، kpa
C_c	ضریب انحنا
C_u	ضریب یکنواختی
D	قطر شمع، m
D_r	دانسیته‌ی نسبی
e	نسبت منافذ
G_s	توده‌ی ویژه‌ی خاک
K_{max}	ضریب حداکثر فشار جانبی خاک
K_{min}	ضریب حداقل فشار جانبی خاک
$K_{(z)}$	ضریب فشار جانبی خاک
L	طول شمع، m
N	عدد نفوذ استاندارد
P_a	فشار اتمسفریک، kpa
Q_s	مقاومت جداره، kN
$(Q_s)_{tens}$	مقاومت جداره در شمع کششی، kN
$(Q_s)_{comp}$	مقاومت جداره در شمع فشاری، kN
z	عمق، m
σ'_{rc}	تنش جانبی مؤثر ثبیت شده بعد از احداث شمع، kpa
σ'_{rf}	تنش مؤثر شعاعی بعد از نصب، kpa
$\sigma'_{ff(z)}$	تنش مؤثر شعاعی در لحظه‌ی گسیختگی، kpa
σ'_v	تنش مؤثر قائم، kpa
$\sigma'_{v(z)}$	تنش مؤثر قائم، kpa
σ'_{vtip}	تنش مؤثر قائم در نوک شمع، kpa
$\Delta\sigma'_{rc}$	تنش مؤثر جانبی اضافی در اثر بارگذاری، kpa



(ب)



ادامه‌ی شکل ۷ تغییرات مقاومت جداره‌ی شمع‌های کششی با $\tan\delta$
الف) شمع ۴/۲ متری، ب) ۴/۵ متری، پ) ۴/۶ متری
ت) ۴/۸ متری

نتیجه‌گیری

در این تحقیق، با بهره گرفتن از نتایج هفت مورد آزمایش کشش بر روی شمع در مقیاس واقعی، مقدار ضریب فشار جانبی خاک K، زاویه‌ی اصطکاک جداره‌ی شمع δ و پارامتر β مورد استفاده در روش O'Neill سال ۱۹۹۴ ارزیابی گردید. نتایج نشان می‌دهد که روش احداث شمع به کار گرفته شده در این مطالعه، مقاومت جداره‌ی شمع را به طورقابل ملاحظه‌ای کاهش می‌دهد. مقدار β در روش پیشنهادی O'Neill حدود ۶۰ درصد کاهش می‌یابد و نسبت زاویه‌ی اصطکاک بین جداره‌ی شمع و خاک به زاویه‌ی اصطکاک خاک برابر $0/52$ براورد می‌گردد در حالی که توصیه‌ی بیشتر محققان بر $0/67$ زاویه‌ی اصطکاک خاک می‌باشد. در نهایت ضریب فشار جانبی خاک برابر $0/42$ محاسبه گردید.

لازم به ذکر است که این اندازه‌گیری‌ها بر روی

v_p	برشی ضریب پواسون شمع	δ_f	زاویه اصطکاک جداره شمع در لحظه گسینختگی
E_p	مدول الاستیسیته شمع، kpa	τ_f	مقاومت برشی نهایی در جداره شمع، kpa
G_{avg}	مدول برشی خاک، kpa	$\tau_m(z)$	مقاومت نهایی جداره، kpa
		ϕ_{cv}	زاویه اصطکاک خاک در حالت بحرانی
		ϕ_{peak}	زاویه اصطکاک خاک در اوج مقاومت

مراجع

- Lehane, B.M., Jardine, R.J., Bond, A.J., Frank, R., "Mechanisms of shaft friction in sand from instrumented pile tests". *J Geotechnical Eng.*, 119 (1):19-35, (1993).
- Lehane, B.M., and Jardine, R.J., "Shaft capacity of driven piles in sand: a new design approach". In *proceedings of a Conference on the Behavior of Offshore Structures*, Boston, Mass., Vol. 1, pp. 23-36, (1994).
- Kishida, H. and Uesugi, M. "Tests of interface between sand and steel in the simple shear apparatus", *Géotechnique*, 37(1): 46–52, (1987).
- Fleming, W. G. K., Weltman, A. J., Randolph, M. F., Elson, W.K., Piling Engineering. Taylor & Francis Group, London and New York, (1992).
- O'Neill, M.W., Hassan, K.M. Drilled Shafts: Effects of construction on performance and design criteria. Proc., *Int. Conf. Des. Constr. Deep Founds*. Orlando, FHWA, 1,137, (1994).
- O'Neill, M.W. Drilled Shafts. Proc., *International Conf. on Design and Construction of Deep Foundations*, Fed. Highway Admin., Washington, D.C., Vol. 1, 185-206, (1994).
- De Nicola, A. and M.F. Randolph, "Tensile and compressive shaft capacity of piles in sand", *ASCE J. Geot. Eng. Div.*, 119(12): 1952–1973, (1993).
- Kraft, L. M., Lyons, C. G., "State of the art-ultimate axial capacity of grouted piles". Proceedings of the 6th Annual OTC, Houston Texas, pp.485-504, (1974).
- Alawneh, A. S. "Tension., piles in sand: a method including degradation of shaft friction during driving", Transportation Research Record No. 1663. National Research Council. Washington, D. C. Paper No.990092; p.41-9, (1999).
- Lehane, B.M., White, D. J., "Lateral stress changes and shaft friction for model displacement piles in sand", *Canadian Geotechnical Journal* 42 (4): 1039-1052 August, (2005).
- Lehane, B.M., "Experimental investigations of pile behavior using instrumented field piles". Ph.D. thesis, University of London (Imperial College), London, U. K., (1992).
- Lehanc, B.M., Schnider, J.A., and Xu, X. "Evaluation of design methods for displacement piles in sand", UWA Report, GEO: 05341.1, (2005).

13. Ramsey, N., Jardine, R.J., Lehane, B.M., and Ridly, A. "A review of soil-steel interface testing with the ring shear apparatus", *In proceedings of the 6th Conference on Offshore Site Investigation and Foundation Behavior*, Society for underwater technology, London, U.K., pp. 237-258, (1998).